

**О НЕСТАЦИОНАРНОМ СКОЛЬЖЕНИИ ГАЗА
ВБЛИЗИ БЕСКОНЕЧНОЙ ПЛОСКОСТИ
ПРИ ДИФФУЗНО-ЗЕРКАЛЬНОМ ОТРАЖЕНИИ МОЛЕКУЛ**

M. M. Кузнецов

(Moskva)

На основе «двуихпоточной» аппроксимации для функции распределения получено приближенное аналитическое решение задачи Рэлея, описывающее (для любого момента времени) нестационарное скольжение разреженного газа вблизи поверхности с диффузно-зеркальным отражением молекул. При решении задачи предполагалось, что характерное значение макроскопической скорости газа мало по сравнению со скоростью звука. Установлена приближенная аналогия с распространением свободных колебаний в электрической линии бесконечной длины. Исследован предельный переход $\sigma \rightarrow 0$ (σ — доля диффузно-отраженных частиц) в точном решении уравнения Больцмана. Показано, что при $\sigma \ll 1$ скорость скольжения для любого момента времени определяется из гидродинамических уравнений движения. Исследована неоднозначность предельных переходов ($t \rightarrow \infty$, $\sigma \rightarrow 0$; $\sigma \rightarrow 0$, $t \rightarrow \infty$) при определении скорости теплового скольжения.

Задача Рэлея для движущейся плоскости при диффузно-зеркальном отражении молекул. Рассмотрим задачу о нестационарном движении газа, ограниченного бесконечной плоскостью, которая внезапно приводится в равномерное движение (параллельно самой себе) с постоянной скоростью w . Решение этой задачи в рамках теории сплошной среды было дано в [1, 2]. На основе кинетической теории газов это нестационарное течение исследовалось в работах [3—9]. В данной статье рассмотрен случай импульсивного движения бесконечной плоскости при диффузно-зеркальном отражении молекул. Дано приближенное аналитическое решение задачи, которое обобщает решение, полученное в работе [5] для случая чисто диффузного отражения молекул.

Схема диффузно-зеркального отражения молекул рассматривалась также в работах [3, 6, 9]. В отличие от результатов этих работ, справедливых в области асимптотически малых ($t/t_c \ll 1$) или больших ($t/t_c \gg 1$) интервалов времени t/t_c (t_c — время свободного пробега), предлагаемое решение описывает поведение газа в произвольный момент времени t^* от начала движения бесконечной плоскости ($y=0$).

Предположим, что скорость w плоскости мала по сравнению со скоростью звука в газе. В этом случае кинетическое уравнение Больцмана для функции распределения $f(c, y, t)$ может быть линеаризовано по па-

раметру w/v_w , $v_w = \sqrt{\frac{2kT_w}{m}}$

$$(1) \quad \partial\phi/\partial t + c_y \partial\phi/\partial y = \mathcal{L}[\phi].$$

Здесь ϕ — поправка к равновесной функции $f^{(0)}$ для покоящегося газа, $\phi \sim wv_w^{-1}$, $f = f_w^{(\phi)}(1 + \phi)$; y — расстояние по нормали к плоскости $y=0$; c — скорость молекулы; $\mathcal{L}[\phi]$ — линеаризованный интеграл столкновений [10].

* В работе [3] в диапазоне $t/t_c \sim 1$ было построено интерполяционное решение. Однако с помощью этой интерполяции не удалось определить скорость газа $u(t, y)$ при $t/t_c \sim 1$ и $y > 0$.

2*

В качестве кинетического граничного условия на стенке $y=0$ примем, что часть $(1-\sigma)$ падающих молекул отражается зеркально, а другая часть (σ) отражается диффузно с максвелловским распределением при температуре стенки T_w . Тогда для поправки φ при $y=0$ будем иметь

$$(2) \quad \varphi(c_y > 0, t, y=0) = (1 - \sigma) \varphi(c_y < 0, t, y=0) + 2\bar{w}\zeta_x,$$

где $\bar{w} = uv_w^{-1}$; $\zeta_x = c_x v_w^{-1}$;

c_x — проекция скорости на направление, параллельное плоскости $y=0$.

Для приближенного решения уравнения (1) воспользуемся следующей аппроксимацией функции φ [5]:

$$(3) \quad \varphi = \begin{cases} \varphi^+ = \varphi(c_y > 0) = a_0^+(y) \zeta_x, \\ \varphi^- = \varphi(c_y < 0) = a_0^-(y) \zeta_x. \end{cases}$$

Скорость газа u и поток импульса p_{xy} связаны с функциями a_0^+ , a_0^- соотношениями

$$U = uv_w^{-1} = \frac{1}{4} (a_0^+ + a_0^-); \quad p_{xy} = \frac{a_0^+ - a_0^-}{4V\pi}.$$

Умножим (1) на функции ζ_x , $\zeta_x \zeta_y$ и, используя аппроксимацию (3), осредним результат в пространстве скорости c . Тогда для молекул Максвелла [10] будем иметь

$$(4) \quad \partial U / \partial \tau + \partial P / \partial Y = 0; \quad \partial P / \partial \tau + \partial U / \partial Y = -P.$$

Здесь

$$\tau = t/t_c, \quad Y = y\sqrt{2}/l_c, \quad l_c = 2\mu/\rho v_w, \quad t_c = l_c/v_w, \quad P = p_{xy}/(V^2 p_\infty).$$

Подставляя (3) в граничное условие (2), получим

$$(5) \quad \sigma U(\tau, y=0) + (2 - \sigma) \sqrt{\frac{\pi}{2}} P(\tau, y=0) = \bar{w}.$$

Для решения системы уравнений (4) воспользуемся преобразованием Лапласа [11]

$$(6) \quad \hat{U}(Y, S) = \int_0^\infty e^{-S\tau} U(Y, \tau) d\tau; \quad \hat{P} = \int_0^\infty e^{-S\tau} P d\tau.$$

Применяя преобразование (6) к уравнению (4) и учитывая начальные и граничные условия, получим

$$(7) \quad S \hat{U} + \partial \hat{P} / \partial Y = 0; \quad S \hat{P} + \partial \hat{U} / \partial Y = -\hat{P},$$

$$(8) \quad \hat{P}(Y \rightarrow \infty) = \hat{U}(Y \rightarrow \infty) = 0,$$

$$(9) \quad \sigma \hat{U}(Y=0) + (2 - \sigma) \sqrt{\frac{\pi}{2}} \hat{P}(Y=0) = \bar{w} S^{-1}.$$

Решение системы уравнений (7) с краевыми условиями (8), (9) имеет вид

$$\hat{U}(Y, S) = \frac{\bar{w}}{S} \frac{\sqrt{S+1} \exp(-\alpha Y)}{\sigma \sqrt{S+1} + (2 - \sigma) \sqrt{\frac{\pi}{2}} V^S};$$

$$\hat{P}(Y, S) = \frac{\bar{w}}{S} \frac{\sqrt{S} \exp(-\alpha Y)}{\sigma \sqrt{S+1} + (2 - \sigma) \sqrt{\frac{\pi}{2}} V^S}, \quad \alpha = \sqrt{S(S+1)}.$$

Для определения прообразов функций \hat{U} и \hat{P} , т. е. обращения преобразования Лапласа, воспользуемся контуром интегрирования в комплексной плоскости, показанном на фиг. 1.

После несложных преобразований получим

$$(10) \quad U = \bar{w}\theta \left[1 - \sqrt{\frac{2}{\pi}} \sigma (2 - \sigma) \int_0^1 \frac{\sqrt{1 - z^2} e^{-\tau z^2} \cos(Yz\sqrt{1 - z^2}) dz}{\sigma^2 + z^2\varepsilon^2} - \right. \\ \left. - \frac{2\sigma^2}{\pi} \int_0^1 \frac{\sqrt{1 - z^2} e^{-\tau z^2} \sin(Yz\sqrt{1 - z^2}) dz}{z(\sigma^2 + z^2\varepsilon^2)} \right];$$

$$(11) \quad P = \bar{w}\theta \left[\frac{2}{\pi} \sigma^2 \int_0^1 \frac{\sqrt{1 - z^2} e^{-\tau z^2} \cos(Yz\sqrt{1 - z^2}) dz}{\sigma^2 + z^2\varepsilon^2} - \right. \\ \left. - \sqrt{\frac{2}{\pi}} \sigma(2 - \sigma) \int_0^1 \frac{ze^{-\tau z^2} \sin(Yz\sqrt{1 - z^2}) dz}{\sigma^2 + z^2\varepsilon^2} \right],$$

где θ — функция Хевисайда [11],

$$\theta = \theta(\tau - Y), \quad \theta(x > 0) = 1, \quad \theta(x < 0) = 0; \quad \varepsilon^2 = \frac{\sigma}{2} (2 - \sigma)^2 - \sigma^2.$$

При $y=0$, $\sigma=1$ формулы (10), (11) совпадают с полученным ранее решением для случая диффузно-отражающей стенки [5].

Исследуем более детально зависимость $U(\tau, Y=0)$, $P(\tau, Y=0)$. Для интервала времени, много меньшего $t_c(\tau \ll 1)$, раскладывая подынтегральные выражения в (10), (11) в ряд по τ и учитывая табличные значения интегралов [12], будем иметь

$$U = \bar{w}\theta(\tau) \left[\frac{\sigma}{(2 - \sigma) \sqrt{\frac{\pi}{2} + \sigma}} - \frac{\sigma(2 - \sigma) \sqrt{\pi/2} \tau}{2[(2 - \sigma)\sqrt{\pi/2} + \sigma]} + O(\tau^2) \right];$$

$$P = \bar{w}\theta(\tau) \{ (\sigma/(2 - \sigma)) \sqrt{\pi/2} - (\sigma^2\tau/2)[(2 - \sigma)\sqrt{\pi/2} + \sigma]^2 \} + O(\tau^2).$$

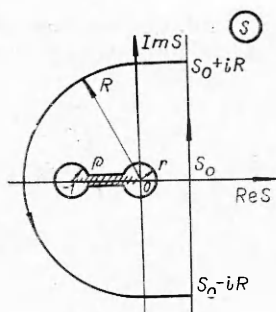
Сравнение с точным решением уравнения (1) вблизи предела $\tau \rightarrow 0$ [9] $U(\tau, Y=0) = \frac{\sigma}{2} + \frac{\sigma(2 - \sigma)}{8}\tau + O(\tau^2)$; $P = 1 + O(\tau)$ показывает, что разница в величине скорости $U(Y=0, \tau)$ не превышает 5%, а в величине P — 10%. Эта точность может быть значительно повышена, как показано в работе [13] (при $\sigma=1$, $\tau \ll 1$), уже после первой итерации нулевого приближения (3).

Для интервалов времени, много больших $t_c(\tau \gg 1)$, после соответствующего упрощения формул (10), (11) получим

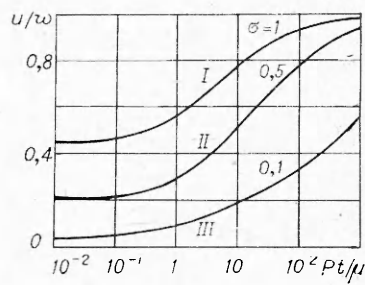
$$U(\tau, Y=0) = \bar{w}\theta(\tau) \left[1 - \frac{2 - \sigma}{\sigma\sqrt{2\tau}} + O\left(\frac{1}{\tau}\right) \right]; \\ P(\tau, Y=0) = \bar{w}\theta(\tau) \left[\frac{1}{\sqrt{2\tau}} + O\left(\frac{1}{\tau}\right) \right].$$

Время установления стационарного скольжения T_σ на плоскости с неполной аккомодацией ($\sigma < 1$) в σ^{-2} раз больше времени $T_1(\sigma=1)$
 $T_\sigma/T_1 = \sigma^{-2}$.

Для определения значений функций $U(\tau, Y=0, \sigma)$, $P(\tau, Y=0, \sigma)$ в промежуточном диапазоне ($\tau \sim 1$) необходимо численное интегрирование зависимостей (10), (11).



Ф и г. 1



Ф и г. 2

Результаты расчетов (для различных σ) приведены на фиг. 2, 3.
В области $\sigma \ll 1$, переходя в формуле (10) к переменной $\xi = z\sigma^{-1}$, получим

$$U(\tau, Y=0, \sigma) = \bar{w}\theta(\tau) \left[1 - \frac{2V_2}{\sqrt{\pi}} \int_0^\infty \frac{\exp(-\sigma^2 \tau \xi)}{1+2\pi\xi^2} d\xi + O(\sigma) \right].$$

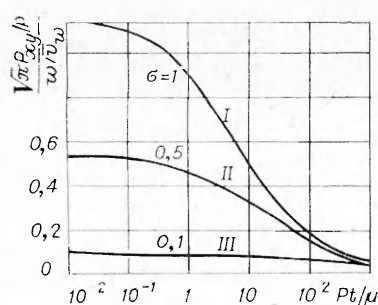
Аналогия с распространением свободных колебаний в электрической линии бесконечной длины. Дифференциальные уравнения, описывающие распространение свободных колебаний в электрической линии, имеют вид [14]

$$(12) \quad L \partial I / \partial t + \partial V / \partial y = -RI; \quad C \partial V / \partial t + \partial I / \partial y = GV,$$

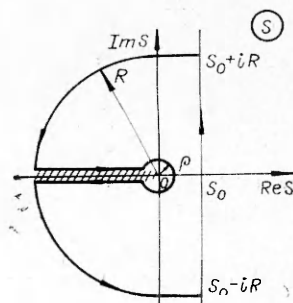
где L — индуктивность; C — емкость; G — утечка; R — омическое сопротивление (L, C, G, R — отнесены к единице длины); I — сила тока; V — напряжение.

Можно видеть, что системы уравнений (4), (12) совпадают, если положить $L=1, C=1, R=1, G=0, V=U, I=P$.

Начальные условия $U=P=0$ соответствуют разомкнутой линии в момент времени $t \leq 0$, а граничные условия (5), (8) — условиям на концах линии. Например, условие (8) соответствует отсутствию отраженной волны от конца линии, а условие (5) $V(t, y=0)=\varepsilon - z_0 I(t, y=0)$ означает, что ЭДС батареи $\varepsilon=w$ складывается из ЭДС в начале линии $V(y=0)$ и падения напряжения на омическом сопротивлении Z_0 ($Z_0 = \sqrt{\frac{\pi}{2}} \frac{2-\sigma}{\sigma}$).



Ф и г. 3



Ф и г. 4

Уравнения (12) могут быть сведены к одному телеграфному уравнению относительно V или I [14]

$$(13) \quad \partial^2 V / \partial t^2 - \partial^2 V / \partial y^2 + \partial V / \partial t = 0.$$

Таким образом, решение системы уравнений (4) эквивалентно решению телеграфного уравнения (14), описывающего распространение свободных колебаний в электрической линии бесконечной длины.

Нестационарное скольжение вблизи поверхности с почти зеркальным отражением ($\sigma \ll 1$) молекул. В гидродинамическом решении задачи о скольжении (т. е. при $\tau \gg 1$) величина производной $\partial P / \partial t$ мала, поэтому уравнения (4) и граничное условие (6) принимают вид

$$(14) \quad \partial U / \partial \tau + \partial P / \partial Y = 0; \quad \partial U / \partial Y = -P;$$

$$(15) \quad \sigma V + (2 - \sigma) \sqrt{\pi/2} \partial U / \partial Y = \bar{w}.$$

Применяя преобразование Лапласа к соотношениям (14), (15), аналогично предыдущему получим

$$\hat{U} = \bar{w} \exp(-\sqrt{\bar{S}}Y)/S[\sigma + (2 - \sigma)\sqrt{\pi/2}\sqrt{\bar{S}}].$$

Оригинал изображения \hat{U} может быть найден по таблицам [15]

$$(16) \quad U = \bar{w} \left\{ \operatorname{erfc}\left(\frac{Y}{\sqrt{2\tau}}\right) - \exp\left(\sqrt{\frac{2}{\pi}} \frac{\sigma Y}{2-\sigma}\right) \exp\left[\frac{2}{\pi} \frac{\sigma^2 \tau}{(2-\sigma)^2}\right] \times \right. \\ \left. \times \operatorname{erfc}\left(\sqrt{\frac{2}{\pi}} \frac{\sigma \sqrt{\tau}}{2-\sigma} + Y/2\sqrt{\tau}\right) \right\}$$

или непосредственным интегрированием в комплексной плоскости вдоль контура, изображенного на фиг. 4,

$$(17) \quad U = 1 - \frac{2\sigma\delta}{\pi} \int_0^\infty \frac{e^{-\tau z^2} \cos(Yz) dz}{\sigma^2 + z^2\delta^2} - \frac{2\sigma^2}{\pi} \int_0^\infty \frac{e^{-\tau z^2} \sin(Yz) dz}{z(\sigma^2 + z^2\delta^2)}.$$

Здесь $\delta^2 = \varepsilon^2 + \sigma^2$.

При $\sigma \rightarrow 0$ формулы (10), (17) совпадают. Таким образом, в области малых значений σ ($\sigma \ll 1$) решение уравнений (4) стремится к гидродинамическому. Этот факт неслучаен. Покажем, что скольжение на почти зеркальной поверхности ($\sigma \ll 1$) становится заметно отличным от нуля лишь в гидродинамическом режиме скольжения ($\tau \gg 1$).

Умножим уравнение (1) на функцию $\varphi(t, c, y)$ и проинтегрируем по всем переменным. Учитывая начальные и граничные условия для функции φ , получим

$$(18) \quad -\frac{1}{2} \int_0^\infty \langle \tilde{\varphi}^2 \rangle dy - \int_0^\infty dy \int_0^T \langle \tilde{\varphi} \mathcal{L}[\tilde{\varphi}] \rangle dt = -\frac{\sigma}{2} \int_0^T \int_{c_y > 0} \zeta_y (2\zeta_x - \varphi^-) \times \\ \times [(2 - \sigma) \varphi^- + 2\sigma \zeta_x] d\zeta dt,$$

где $\tilde{\varphi} = \varphi / w$, $\langle \varphi \rangle = \int e^{-\zeta^2} \varphi d\zeta$.

Левая часть равенства является положительно определенной величиной, поскольку $\langle \varphi \mathcal{L}[\varphi] \rangle < 0$ [10]. Поэтому при $\sigma = 0$ функции $\varphi = 0$. Кроме того, в силу (18) и неравенства

$$(19) \quad \langle \varphi \mathcal{L}[\varphi] \rangle > \mu_1 \langle \varphi^2 \rangle, \quad \mu_1 = \text{const} > 0,$$

справедливого для «жестких» потенциалов [10], получим

$$(20) \quad \int_0^\infty \langle \tilde{\varphi}^2 \rangle dy < \frac{\sigma t}{0.5 + \mu_1}.$$

Таким образом, для моментов времени $\tau \sim 1$, скольжение (с точностью до величин порядка σ) отсутствует, а в диапазоне $\tau \gg 1$ соответствует гидродинамическому решению задачи.

В качестве второго примера рассмотрим задачу о нестационарном тепловом скольжении, сформулированную в работе [16]

$$(21) \quad \frac{\partial \Phi}{\partial t} + c_y \frac{\partial \Phi}{\partial y} + \bar{T}_x c_x \left(\zeta^2 - \frac{5}{2} \right) = \mathcal{L}[\varphi];$$

$$(22) \quad \varphi(y, t=0) = \varphi_i \zeta_x \bar{T}_x; \quad \varphi(y=0, t, c_y > 0) = (1 - \sigma) \varphi(c_y < 0).$$

Здесь \bar{T}_x — градиент температуры в направлении x , «включаемый» в момент времени $t=0$ и поддерживаемый при $t > 0$ постоянным по величине как в объеме газа ($y > 0$), так и вдоль плоскости ($y=0$); $\bar{T}_x = T_w^{-1} \frac{dT}{dx}$, $\zeta_x \varphi_t \bar{T}_x$ — функция Энскога [10].

Можно видеть, что для функции $\psi = \varphi - \zeta_x \bar{T}_x \varphi_t$ уравнение (21) и условия (22) совпадают с соответствующими соотношениями задачи Рэлея, если в граничном условии (2) «источник» $2\sigma \zeta_x \bar{w}$ заменить на «сток» $\sigma \zeta_x \bar{T}_x \varphi_t$. Поэтому предыдущие выводы, полученные на основании соотношений (18) — (20), справедливы и для теплового скольжения при малых значениях параметра σ . Для определения функции $U(t, y)$ в этом случае необходимо найти решение гидродинамических уравнений (14) с краевым условием при $y=0$, полученным в ряде работ на основе решения стационарного варианта уравнения (1) в слое Кнудсена [16-18].

$$U(t, y=0) = \eta_{ii} l \frac{\partial U(t, y=0)}{\partial y} + \eta_{tt} l \bar{T}_x,$$

где η_{ii} , η_{tt} — коэффициенты изотермического и теплового скольжения (порядка 1); l — длина среднего свободного пробега.

Аналогично соотношению (16) получим

$$U(\tau, Y) = \eta_{tt} \bar{T}_x \left\{ \operatorname{erfc} \left(\frac{Y}{2\sqrt{\tau}} \right) - \exp \left(\frac{Y}{\eta_{ii}} + \frac{\tau}{\eta_{ii}^2} \right) \operatorname{erfc} \left(\frac{\sqrt{\tau}}{\eta_{ii}} + \frac{Y}{2\sqrt{\tau}} \right) \right\}.$$

Отсюда, учитывая, что при $\sigma \rightarrow 0$ $\eta_{tt} \approx \eta(\sigma=0)$ [16-18], $\eta_{ii} \rightarrow \frac{2}{\sigma} \sqrt{\frac{\pi}{2}}$ [19], будем иметь

$$(23) \quad U = \eta_{ii} \bar{T}_x \left[1 - \exp \left(\frac{\tau \sigma^2}{2\pi} \right) \operatorname{erfc} \left(\frac{\sigma \sqrt{\tau}}{\sqrt{2\pi}} \right) \right].$$

Если момент времени τ задан, а $\sigma \rightarrow 0$, то в силу (23) $U \sim \sigma \sqrt{\tau} \rightarrow 0$.

Если задано значение σ , а $\tau \rightarrow 0$, то $U \sim 1 - \frac{V^2}{\sigma \sqrt{\tau}} \rightarrow 1$.

Таким образом, стационарное тепловое скольжение на зеркальной стенке ($\sigma \rightarrow 0$) [16-18] следует понимать как предельное течение, достигающееся при $\tau \rightarrow \infty$, $\sigma \rightarrow 0$ [16].

Автор выражает благодарность В. В. Струминскому, В. Н. Жигулеву и В. П. Шидловскому за обсуждение данной работы.

ЛИТЕРАТУРА

1. Stokes G. G. On the effect of internal friction of fluids on the motion of pendulums.— «Trans. Cambr. Phil. Soc., IX, 8 (1851). Math. and Phys. papers, Cambr.», 1901, p. 1—141.
2. Rayleigh. On the motion of solid bodies through viscous liquids.—«Phil. mag.», 1911, vol. 21, p. 697—711.
3. Yang H. T., Lees L. Rayleigh's problem at low Mach number according to the kinetic theory of gases.—«J. Mathem. and Phys.», 1956, vol. 35, N 3, p. 195—235.
4. Gross E. P., Jackson E. A. Kinetic theory of the impulsive motion of an infinite plate.—«Phys. Fluids», 1958, vol. 1, N 4, p. 318—328. Рус. пер. в сб. Механика, 1959, № 5.
5. Кошмаров Ю. А. Течение разреженного газа около стенки, внезапно приведенной в движение.—«Инж. журн.», 1963, т. III, вып. 3, с. 433—441; Шидловский В. П. Введение в динамику разреженного газа. М., «Наука», 1965.
6. Ян Сюнь — Тяо, Лиз. Проблема Рэлея для низких чисел Рейнольдса согласно кинетической теории газов.— В кн.: Газодинамика разреженных газов. М., ИЛ, 1963, с. 325—375.
7. Trilling L. Asymptotic solution of the Boltzmann — Krook equation for the Rayleigh shear flow problem.—«Phys. Fluids», 1964, vol. 7, N 10, p. 1681—1691.
8. Cercignani C., Sernagiotto F. Rayleigh's problem at low Mach numbers according to kinetic theory.— In: Rarefied gas dynamics. Vol. 1. N. Y., 1965, p. 332—353.
9. Epstein M. Linearized Rayleigh's problem with incomplete surface accommodation.— In: Rarefied gas dynamics. Vol. 1. N. Y., 1969, p. 255—265.
10. Черчиньани К. Математические методы в кинетической теории газов. М., «Мир», 1973.
11. Лыков А. В. Теория теплопроводности. М., «Высш. школа», 1967.
12. Градштейн М. С., Рыжик И. М. Таблицы интегралов, сумм, рядов и произведений. М., Физматгиз, 1963.
13. Gross E. P., Джексон Е. А. Кинетические модели и линеаризованное уравнение Больцмана.— В сб. пер. Механика, 1960, № 5, с. 65—81.
14. Лаврентьев М. А., Шабат Б. В. Методы теории функций комплексного переменного. М., «Наука», 1973.
15. Диткин В. А., Кузнецов П. И. Справочник по операционному исчислению. М.— Л., ГИТТЛ, 1951.
16. Loyalka S. K., Cipolla J. W. Thermal creep slip with arbitrary accommodation at the surface.—«Phys. Fluids», 1971, vol. 14, N 8, p. 1656—1661.
17. Яламов Ю. И., Ивченко И. Н., Дерягин Б. В. Газокинетический расчет скорости теплового скольжения газа вблизи твердой поверхности.—«Докл. АН СССР», 1967, т. 177, № 1, с. 74—76.
18. Абрамов Ю. Ю., Гладуш Г. Г. Течение разреженного газа вблизи неоднородной нагретой поверхности.—«Изв. АН СССР. МЖГ», 1970, № 2, с. 20—29.
19. Loyalka S. K. Approximate method in the kinetic theory.—«Phys. Fluids», 1971, vol. 14, N 11, p. 2291—2294.

УДК 537. 84

**ДВИЖЕНИЕ ПОВЕРХНОСТИ РАЗДЕЛА ЭЛЕКТРОЛИТ — ГАЗ
В ЭЛЕКТРИЧЕСКОМ ПОЛЕ**

В. П. Блинов, Ю. В. Жилин
(Miasc)

Рассматривается явление движения поверхности раздела электролит — газ, обнаруженное впервые в электрических уровнях. Даётся сравнительная характеристика явления в целях практического использования при решении задач управления положением поверхности раздела жидкостей.

Если механика жидкости в настоящее время достаточно изучена, то проблема эффективного управления движением жидкости еще не решена. При этом речь идет не о механическом управлении, которому при-